



基于凸优化的星球着陆自主轨迹规划

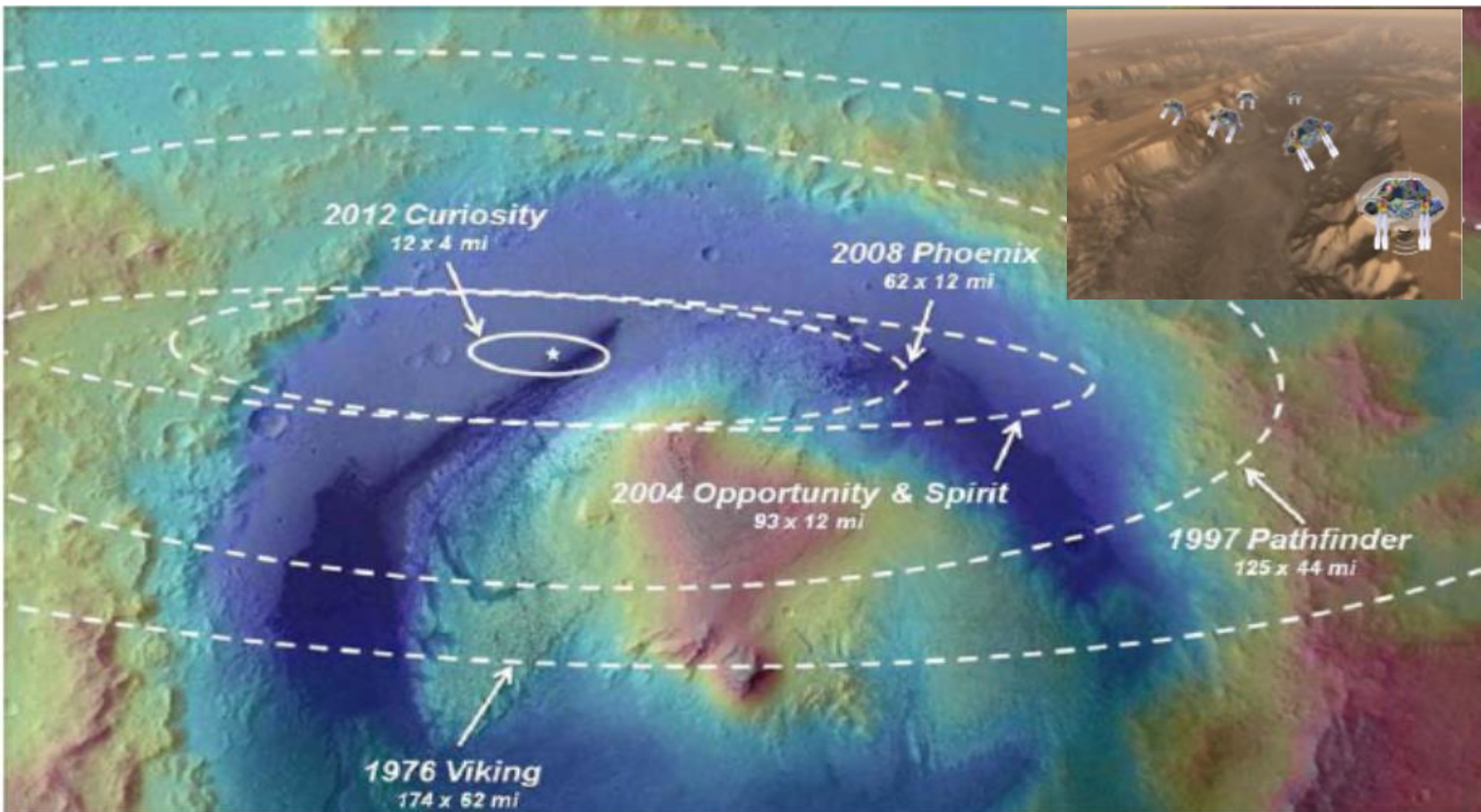
刘新福

- 星球着陆问题的描述
- 凸化处理过程
- 等价性分析
- 数值结果

- 星球着陆问题的描述
- 凸化处理过程
- 等价性分析
- 数值结果

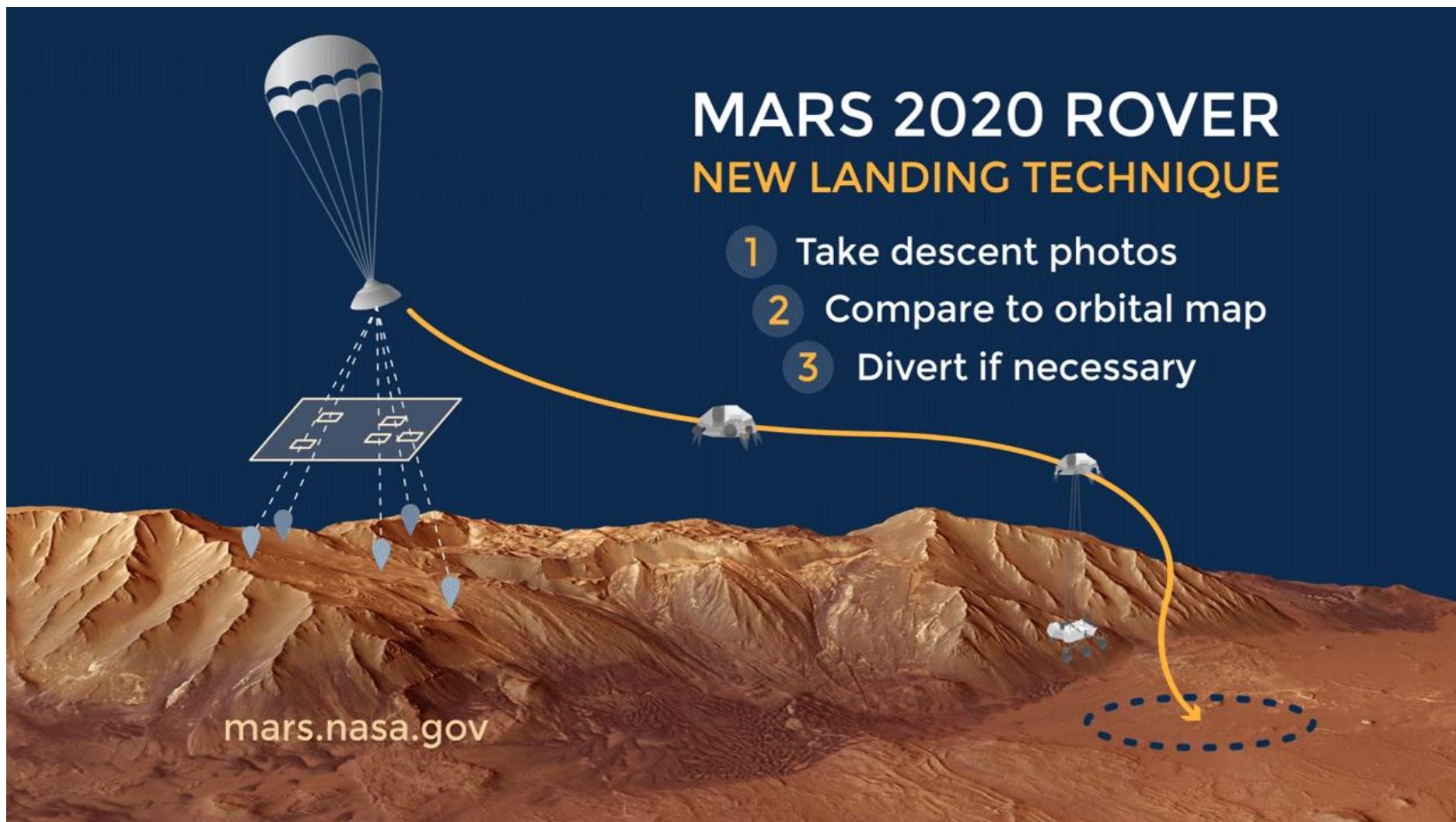
1. 星球着陆问题的描述

➤ 火星动力下降着陆轨迹优化



1. 星球着陆问题的描述

➤ 火星动力下降着陆轨迹优化

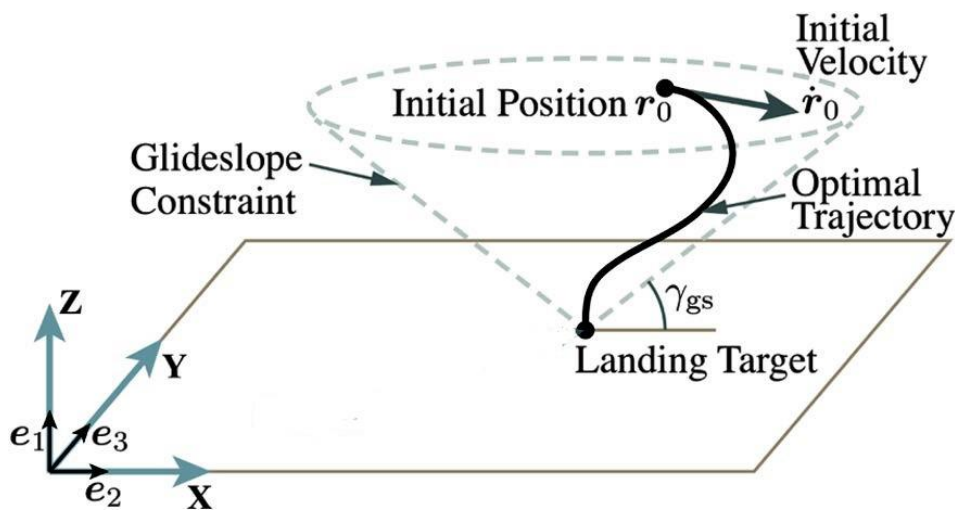


1. 星球着陆问题的描述

动力学方程：

$$\ddot{\mathbf{r}}(t) = \mathbf{g} + \frac{\mathbf{T}(t)}{m(t)}$$

$$\dot{m}(t) = -\alpha \|\mathbf{T}(t)\|$$



动力学方程是**非线性的**

$\mathbf{r} = [r_1, r_2, r_3]^T$ —— 位置矢量

m —— 质量

$\mathbf{T} = [T_1, T_2, T_3]^T$ —— 推力矢量

I_{sp} —— 发动机比冲

$\mathbf{g} = [-g, 0, 0]^T$ —— 火星重力加速度

g_0 —— 地球表面重力加速度

$\alpha = 1 / (I_{sp} g_0)$ —— 关于燃料消耗速率的常数

1. 星球着陆问题的描述

过程约束: $0 < T_{\min} \leq \| \mathbf{T}(t) \| \leq T_{\max}$ 推力大小约束 (非凸)

$\sqrt{r_2(t)^2 + r_3(t)^2} \leq r_1(t) \cot \gamma_{gs}$ Glideslope 约束 (凸)

where $0 < \gamma_{gs} \leq 90^\circ$

终端约束: $\mathbf{r}(t_f) = \dot{\mathbf{r}}(t_f) = 0$

优化目标: $J = \int_0^{t_f} \| \mathbf{T}(t) \| dt$ 燃料消耗最小

1. 星球着陆问题的描述

优化问题:

$$\text{P0: } \min J = \int_0^{t_f} \|\mathbf{T}(t)\| dt$$

$$\text{s.t. } \ddot{\mathbf{r}}(t) = \mathbf{g} + \frac{\mathbf{T}(t)}{m(t)}$$

$$\dot{m}(t) = -\alpha \|\mathbf{T}(t)\|$$

$$0 < T_{\min} \leq \|\mathbf{T}(t)\| \leq T_{\max}$$

$$\sqrt{r_2(t)^2 + r_3(t)^2} \leq r_1(t) \cot \gamma_{gs}$$

$$\mathbf{r}(t_f) = \dot{\mathbf{r}}(t_f) = 0$$

?



二阶锥优化

$$\min \mathbf{c}^T \mathbf{y}$$

$$\text{s.t. } \mathbf{A}\mathbf{y} = \mathbf{b}$$

$$\mathbf{G}\mathbf{y} - \mathbf{s} \succeq_K \mathbf{0}$$

如何利用二阶锥优化进行求解?

- 星球着陆问题的描述
- **凸化处理过程**
- 等价性分析
- 数值结果

2. 凸化处理过程

凸化处理

非凸不等式约束 \longrightarrow 二阶锥约束或者线性不等式约束

主要方法:

- 无损凸化（凸松弛）
- 二阶锥近似
- 线性近似

非线性动力学方程 \longrightarrow 线性动力学方程

主要方法:

- 变量替换
- 直接线性化（需要迭代）
- 部分非线性保留—线性化（需要迭代）

2. 凸化处理过程

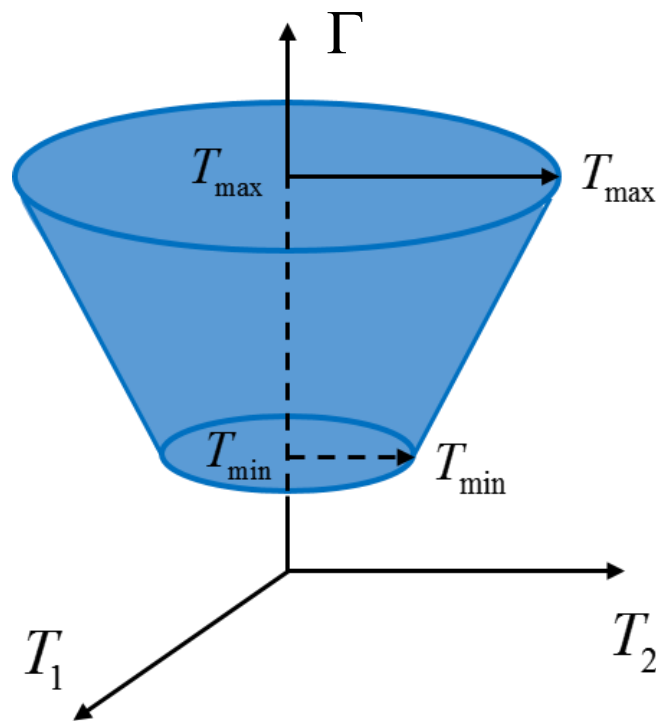
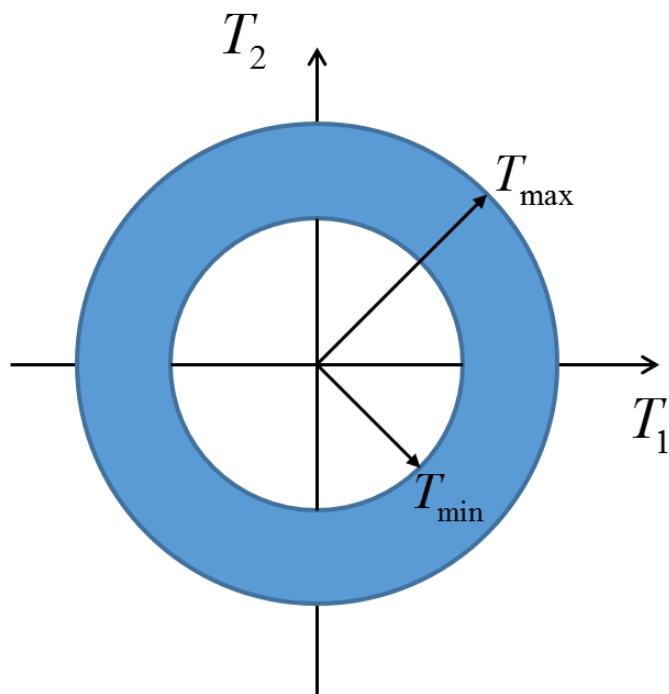
➤ 凸化非凸约束 $T_{\min} \leq \| \mathbf{T} \| \leq T_{\max}$

方法：无损凸化（凸松弛）

$$T_{\min} \leq \| \mathbf{T} \| \leq T_{\max}$$



$$\begin{cases} \| \mathbf{T} \| \leq \Gamma \\ T_{\min} \leq \Gamma \leq T_{\max} \end{cases}$$



2. 凸化处理过程

$$\text{P0: } \min J = \int_0^{t_f} \|\mathbf{T}(t)\| dt$$

$$\text{s.t. } \ddot{\mathbf{r}}(t) = \mathbf{g} + \frac{\mathbf{T}(t)}{m(t)}$$

$$\dot{m}(t) = -\alpha \|\mathbf{T}(t)\|$$

$$0 < T_{\min} \leq \|\mathbf{T}(t)\| \leq T_{\max}$$

$$\sqrt{r_2(t)^2 + r_3(t)^2} \leq r_1(t) \cot \gamma_{gs}$$

$$\mathbf{r}(t_f) = \dot{\mathbf{r}}(t_f) = 0$$

等价?



$$\text{P1: } \min J = \int_0^{t_f} \Gamma(t) dt$$

$$\text{s.t. } \ddot{\mathbf{r}}(t) = \mathbf{g} + \frac{\mathbf{T}(t)}{m(t)}$$

$$\dot{m}(t) = -\alpha \Gamma(t)$$

$$\|\mathbf{T}(t)\| \leq \Gamma(t)$$

$$0 < T_{\min} \leq \Gamma(t) \leq T_{\max}$$

$$\sqrt{r_2(t)^2 + r_3(t)^2} \leq r_1(t) \cot \gamma_{gs}$$

$$\mathbf{r}(t_f) = \dot{\mathbf{r}}(t_f) = 0$$

Theorem: 若 $\{t_f^*, \mathbf{T}^*, \Gamma^*\}$ 是问题P1的最优解, 那么 $\{t_f^*, \mathbf{T}^*\}$ 是问题P0的最优解, 即 $\|\mathbf{T}^*\| = \Gamma^*$ 。

证明在下一节给出

2. 凸化处理过程

➤ 凸化动力学方程

$$\ddot{\mathbf{r}}(t) = \mathbf{g} + \frac{\mathbf{T}(t)}{m(t)}$$

$$\dot{m}(t) = -\alpha \Gamma(t)$$

方法：变量替换

控制变量替换： $u := \frac{T}{m}, \sigma := \frac{\Gamma}{m}$

$$\ddot{\mathbf{r}}(t) = \mathbf{g} + \frac{\mathbf{T}(t)}{m(t)}$$

$$\dot{m}(t) = -\alpha \Gamma(t)$$



$$\ddot{\mathbf{r}}(t) = \mathbf{g} + \mathbf{u}(t)$$

$$\dot{m}(t) = -\alpha \sigma(t) m(t)$$

状态变量替换： $z := \ln m$

$$\dot{m}(t) = -\alpha \sigma(t) m(t)$$



$$\dot{z}(t) = -\alpha \sigma(t)$$

2. 凸化处理过程

相应地

目标函数:

$$J = \int_0^{t_f} \Gamma(t) dt \quad \longrightarrow \quad J = \int_0^{t_f} \sigma(t) dt$$

松弛约束:

$$\| \mathbf{T}(t) \| \leq \Gamma(t) \quad \longrightarrow \quad \| \mathbf{u}(t) \| \leq \sigma(t)$$

推力大小约束:

$$T_{\min} \leq \Gamma(t) \leq T_{\max} \quad \longrightarrow \quad T_{\min} e^{-z(t)} \leq \sigma(t) \leq T_{\max} e^{-z(t)}$$

2. 凸化处理过程

➤ 凸化约束 $T_{\min} e^{-z} \leq \sigma(t) \leq T_{\max} e^{-z}$

方法：二阶锥近似和线性近似

用 e^{-z} 的Taylor级数展开进行近似

$$z_0(t) = \ln(\underline{m_{\text{wet}}} - \alpha T_{\max} t)$$

最大推力飞行的质量变化

- $T_{\min} e^{-z} \leq \sigma(t)$ 凸约束，用二阶锥近似

$$T_{\min} e^{-z_0} \left[1 - (z - z_0) + \frac{(z - z_0)^2}{2} \right] \leq \sigma$$

- $\sigma(t) \leq T_{\max} e^{-z}$ 非凸约束，用线性近似

$$\sigma \leq T_{\max} e^{-z_0} [1 - (z - z_0)]$$

二阶锥近似和线性近似后需迭代求解吗？这里不需要迭代，原因在于该近似的误差很小（在下一节将展示该误差的大小）

2. 凸化处理过程

$$\text{P2: } \min J = \int_0^{t_f} \sigma(t) dt$$

$$\text{s.t. } \ddot{\mathbf{r}}(t) = \mathbf{g} + \mathbf{u}(t)$$

$$\dot{z}(t) = -\alpha\sigma(t)$$

$$\|\mathbf{u}(t)\| \leq \sigma(t)$$

$$T_{\min} e^{-z_0(t)} \left[1 - (z(t) - z_0(t)) + \frac{(z(t) - z_0(t))^2}{2} \right] \leq \sigma(t)$$
$$\leq T_{\max} e^{-z_0(t)} [1 - (z(t) - z_0(t))]$$

$$\sqrt{r_2(t)^2 + r_3(t)^2} \leq r_1(t) \cot \gamma_{gs}$$

$$\mathbf{r}(t_f) = \dot{\mathbf{r}}(t_f) = 0$$

最优控制问题P2的**动力学是线性的**，**不等式约束是线性或者二阶锥的形式**，**目标函数是线性的**。该问题在经过离散化之后将会变成一个二阶锥优化（SOCP）问题。

2. 凸化处理过程

离散化后的优化问题

$$\begin{aligned} \text{P3: } \min \quad & \mathbf{c}^T \mathbf{y} \\ \text{s.t. } \quad & \mathbf{A}\mathbf{y} = \mathbf{b} \\ & \mathbf{G}\mathbf{y} - \mathbf{s} \succeq_K \mathbf{0} \end{aligned}$$

二阶锥优化问题

若该问题有解，原始对偶内点**保证**在多项式时间内找到**全局最优解**

- \mathbf{y} 包含了所有离散点上的状态和控制变量
- $\mathbf{A}\mathbf{y} = \mathbf{b}$ 包含所有的线性等式约束
动力学方程
初始和终端约束
- $\mathbf{G}\mathbf{y} - \mathbf{s} \succeq_K \mathbf{0}$ 包含所有的锥约束
线性锥约束（线性不等式约束）
二阶锥约束

- 星球着陆问题的描述
- 凸化处理过程
- **等价性分析**
- 数值结果

3. 等价性分析

➤ Theorem 的证明

Theorem: 若 $\{t_f^*, \mathbf{T}^*, \Gamma^*\}$ 是问题P1的最优解, 那么 $\{t_f^*, \mathbf{T}^*\}$ 是问题P0的最优解, 即 $\|\mathbf{T}^*\| = \Gamma^*$ 。

定义:

$$\mathbf{x}_1 = \mathbf{r}, \mathbf{x}_2 = \dot{\mathbf{r}}$$

状态变量: $\mathbf{x} = [\mathbf{x}_1^T, \mathbf{x}_2^T]^T$

$$\mathbf{y} = [\mathbf{x}^T, m]^T$$

控制变量: $\mathbf{v} = [\mathbf{T}^T, \Gamma]^T$

控制集: $\Omega = \{\mathbf{v} = [\mathbf{T}^T, \Gamma]^T \mid 0 < T_{\min} \leq \Gamma \leq T, \|\mathbf{T}\| \leq \Gamma\}$

注: 本节仅给出当glideslope约束不活跃情况的证明。该约束活跃情况的证明参考文献

Blackmore, L., Acikmese, B., and Scharf, D. P., "Minimum-Landing-Error Powered-Descent Guidance for Mars Landing Using Convex Optimization," Journal of Guidance, Control, and Dynamics, Vol. 33, No. 4, 2010, pp. 1161–1171.

$$\text{P1: min } J = \int_0^{t_f} \Gamma(t) dt$$

$$\text{s.t. } \ddot{\mathbf{r}}(t) = \mathbf{g} + \frac{\mathbf{T}(t)}{m(t)}$$

$$\dot{m}(t) = -\alpha \Gamma(t)$$

$$\|\mathbf{T}(t)\| \leq \Gamma(t)$$

$$0 < T_{\min} \leq \Gamma(t) \leq T_{\max}$$

$$\sqrt{r_2(t)^2 + r_3(t)^2} \leq r_1(t) \cot \gamma_{gs}$$

$$\mathbf{r}(t_f) = \dot{\mathbf{r}}(t_f) = 0$$

3. 等价性分析

对问题P1使用极大值原理 (Maximum Principle)

哈密顿函数

$$H(\mathbf{y}, \mathbf{v}, \lambda_0, \boldsymbol{\lambda}) = \lambda_0 \Gamma + \boldsymbol{\lambda}_1^T \mathbf{x}_2 + \boldsymbol{\lambda}_2^T \mathbf{T} / m + \boldsymbol{\lambda}_2^T \mathbf{g} - \alpha \lambda_3 \Gamma$$

1. 非平凡条件

$$[\lambda_0, \boldsymbol{\lambda}(t)^T]^T \neq 0, \forall t \in [0, t_f^*]$$

2. 协态变量 $\boldsymbol{\lambda}$ 动力学方程

$$\dot{\lambda}_1 = -\frac{\partial H}{\partial \mathbf{x}_1} = 0$$

$$\dot{\lambda}_2 = -\frac{\partial H}{\partial \mathbf{x}_2} = -\lambda_1$$

$$\dot{\lambda}_3 = -\frac{\partial H}{\partial m} = \frac{\boldsymbol{\lambda}_2^T \mathbf{T}}{m^2}$$

3. 极大值条件

$$\mathbf{v}^*(t) = \arg \max_{\mathbf{v} \in \Omega} H(\mathbf{y}, \mathbf{v}, \lambda_0, \boldsymbol{\lambda})$$

4. 横截条件

$$\lambda_3(t_f^*) = 0$$

$$H(\mathbf{y}^*(t_f^*), \mathbf{v}^*(t_f^*), \lambda_0, \boldsymbol{\lambda}(t_f^*)) = 0$$

协态变量

$$\lambda_1, \lambda_2 \in \mathbb{R}^3$$

$$\boldsymbol{\lambda} = [\lambda_1^T, \lambda_2^T, \lambda_3]^T \in \mathbb{R}^7$$

$$\lambda_0 = \text{const} \leq 0$$

3. 等价性分析

第一步, 证明 $\lambda_2(t) \neq 0$, a.e. on $[0, t_f^*]$

运用反证法, 假设 $\exists [t_1, t_2] \subset [0, t_f^*]$, s.t. $\forall t \in [t_1, t_2], \lambda_2(t) = 0$

由协态变量动力学 $\dot{\lambda}_1 = 0, \dot{\lambda}_2 = -\lambda_1$ 可以推出 $\lambda_1 = a, \lambda_2 = at + b, \forall t \in [0, t_f^*]$

根据 $\forall t \in [t_1, t_2], \lambda_2(t) = 0$ 可以推出 $a = b = 0$

所以 $\lambda_1 = \lambda_2 = 0, \forall t \in [0, t_f^*]$

再根据 $\dot{\lambda}_3 = \lambda_2^T \mathbf{T} / m^2$ 和横截条件 $\lambda_3(t_f^*) = 0$ 可以推出 $\forall t \in [0, t_f^*], \lambda_3(t) = 0$

最后根据横截条件 $H(\mathbf{y}^*(t_f^*), \mathbf{v}^*(t_f^*), \lambda_0, \lambda(t_f^*)) = 0$ 推出 $[\lambda_0, \lambda(t)^T]^T = 0$

与非平凡条件矛盾!

故 $\lambda_2(t) \neq 0$, a.e. on $[0, t_f^*]$

3. 等价性分析

第二步, 证明 $\|\mathbf{T}^*(t)\| = \Gamma^*(t)$, a.e. on $[0, t_f^*]$

$$H(\mathbf{y}, \mathbf{v}, \lambda_0, \lambda) = R_1(t)\Gamma + \mathbf{R}_2(t)^T \mathbf{T} + R_0(t)$$

$$R_0(t) = \lambda_1(t)^T \mathbf{x}_2(t) + \lambda_2^T \mathbf{g}$$

$$R_1(t) = \lambda_0 - \alpha \lambda_3(t)$$

$$\mathbf{R}_2(t) = \lambda_2(t) / m(t)$$

因为 $\lambda_2(t) \neq 0$, a.e. on $[0, t_f^*]$ 且 $m^*(t) > 0$

所以 $\mathbf{R}_2(t) \neq 0$, a.e. on $[0, t_f^*]$

因此哈密顿函数线性地依赖于 \mathbf{T} , 由极大值条件

$$\mathbf{v}^*(t) = \arg \max_{\mathbf{v} \in \Omega} H(\mathbf{y}, \mathbf{v}, \lambda_0, \lambda)$$

可得

$$\|\mathbf{T}^*(t)\| = \Gamma^*(t), \text{ a.e. on } [0, t_f^*] \quad T_{\min} \leq \|\mathbf{T}^*(t)\| \leq T_{\max}$$

3. 等价性分析

➤ 线性近似和二阶锥近似的误差分析

$$T_{\min} e^{-z} \leq \sigma(t) \leq T_{\max} e^{-z} \quad \longrightarrow \quad T_{\min} e^{-z_0(t)} \left[1 - (z(t) - z_0(t)) + \frac{(z(t) - z_0(t))^2}{2} \right] \leq \sigma(t) \leq T_{\max} e^{-z_0(t)} [1 - (z(t) - z_0(t))]]$$

1. 左边不等式

$$\exists \bar{z} \in [z_0, z_u], \text{ s.t. } e^{-z} = e^{-\bar{z}} \left[1 - (z - \bar{z}) + \frac{(z - \bar{z})^2}{2} \right] - e^{-\bar{z}} \frac{(z - \bar{z})^3}{6}$$

$$\text{定义余项 } a(z) := e^{-\bar{z}} \frac{(z - \bar{z})^3}{6}, \quad p_{e1} := 100a(z) / e^{-z} = \frac{50m}{3\bar{m}} \ln \left(\frac{m}{m_0} \right)^3$$

由于 $m, \bar{m} \in [m_0, m_u]$

$$0 \leq p_{e1}(t) \leq \frac{50m_u(t)}{3m_0(t)} \ln \left(\frac{m_u(t)}{m_0(t)} \right)^3$$

$$\begin{aligned} m_0(t) &= m_{\text{wet}} - \alpha T_{\max} t \\ m_u(t) &= m_{\text{wet}} - \alpha T_{\min} t \\ z_0(t) &= \ln m_0(t) \\ z_u(t) &= \ln m_u(t) \end{aligned}$$

2. 右边不等式

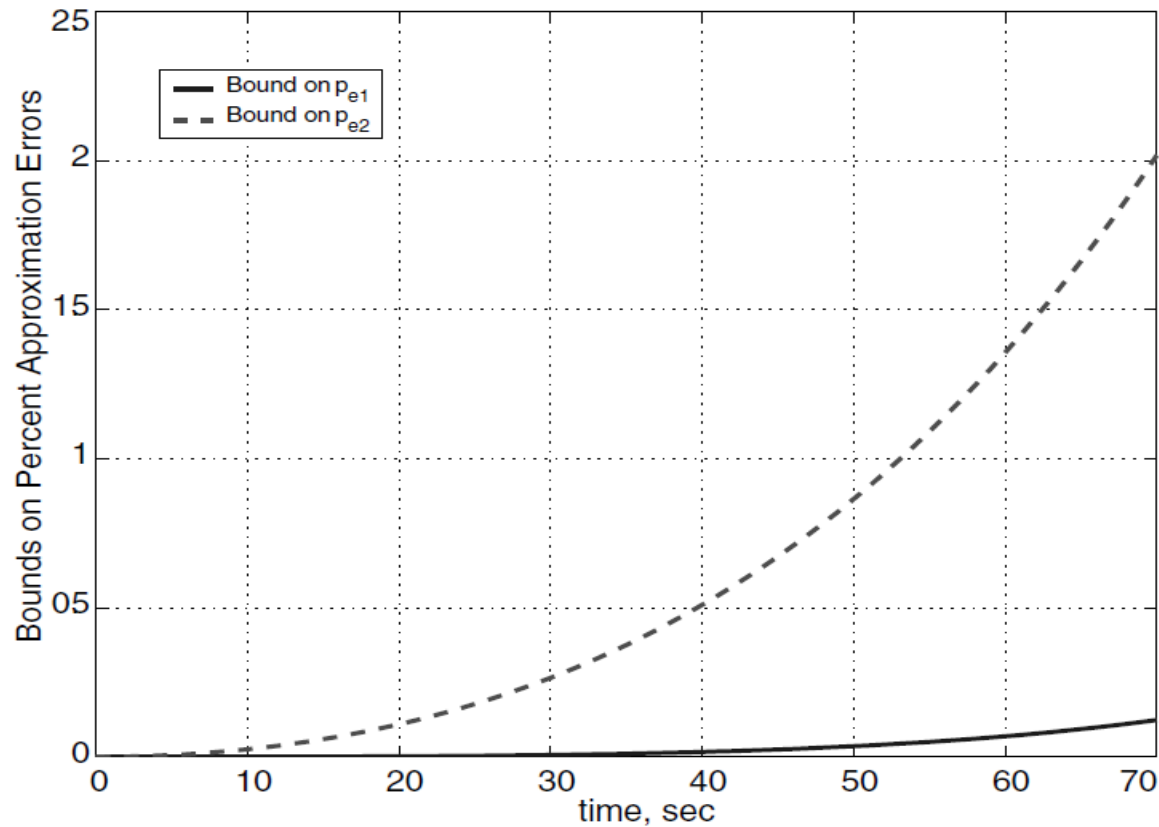
同理可得

$$0 \leq p_{e2}(t) \leq \frac{50m_u(t)}{m_0(t)} \ln \left(\frac{m_u(t)}{m_0(t)} \right)^2$$

3. 等价性分析

$$0 \leq p_{e1}(t) \leq \frac{50m_u(t)}{3m_0(t)} \ln \left(\frac{m_u(t)}{m_0(t)} \right)^3$$

$$0 \leq p_{e2}(t) \leq \frac{50m_u(t)}{m_0(t)} \ln \left(\frac{m_u(t)}{m_0(t)} \right)^2$$

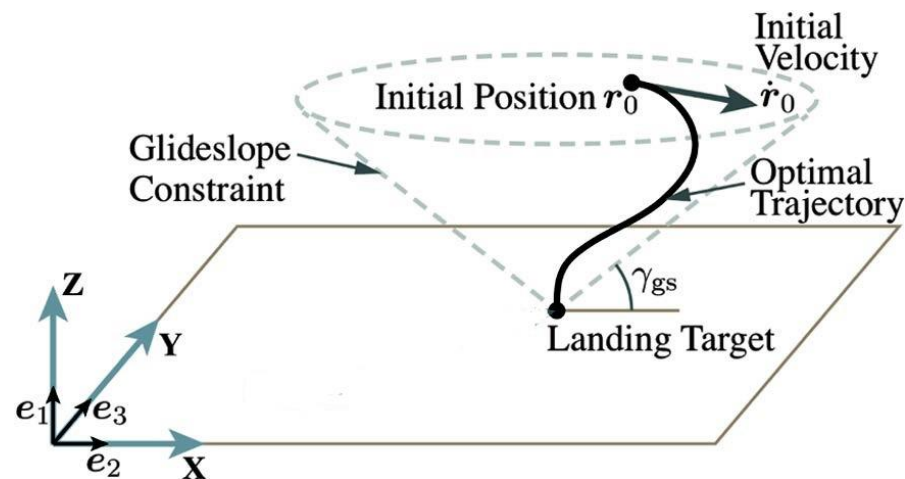


- 星球着陆问题的描述
- 凸化处理过程
- 等价性分析
- **数值结果**

4. 数值结果

- 计算软件: ECOS
- 计算机CPU: Intel® Core™ i7-7500U CPU @ 2.70GHz
- 离散点个数: 31, 51, 101, 151
- 离散方法: 欧拉法
- 初始条件: $\mathbf{r} = [1500, 0, 2000]^T \text{ m}$, $\dot{\mathbf{r}} = [75, 0, 100]^T \text{ m/s}$
- 飞行时间 (给定) : 75 s

Glideslope 约束: $\gamma_{gs} = 4^\circ$



着陆器参数参考:

Acikmese, B. and Ploen, S. R., "Convex Programming Approach to Powered Descent Guidance for Mars Landing," Journal of Guidance, Control, and Dynamics, Vol. 30, No. 5, 2007, pp. 1353–1366.

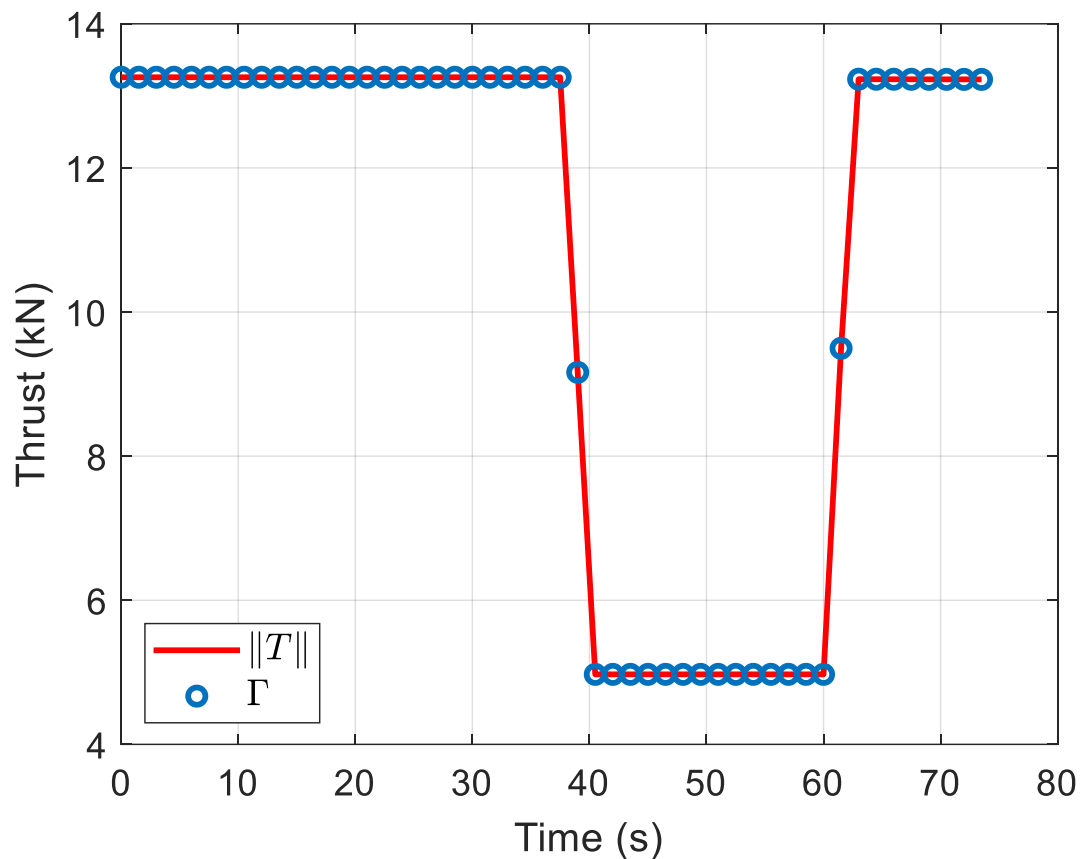
不同离散点计算时间比较

| 离散点个数 | ECOS求解时间 (ms) |
|-------|---------------|
| 31 | 28.4 |
| 51 | 49.1 |
| 101 | 98.3 |
| 151 | 176.7 |

4. 数值结果



以51个离散点为例，计算结果展示



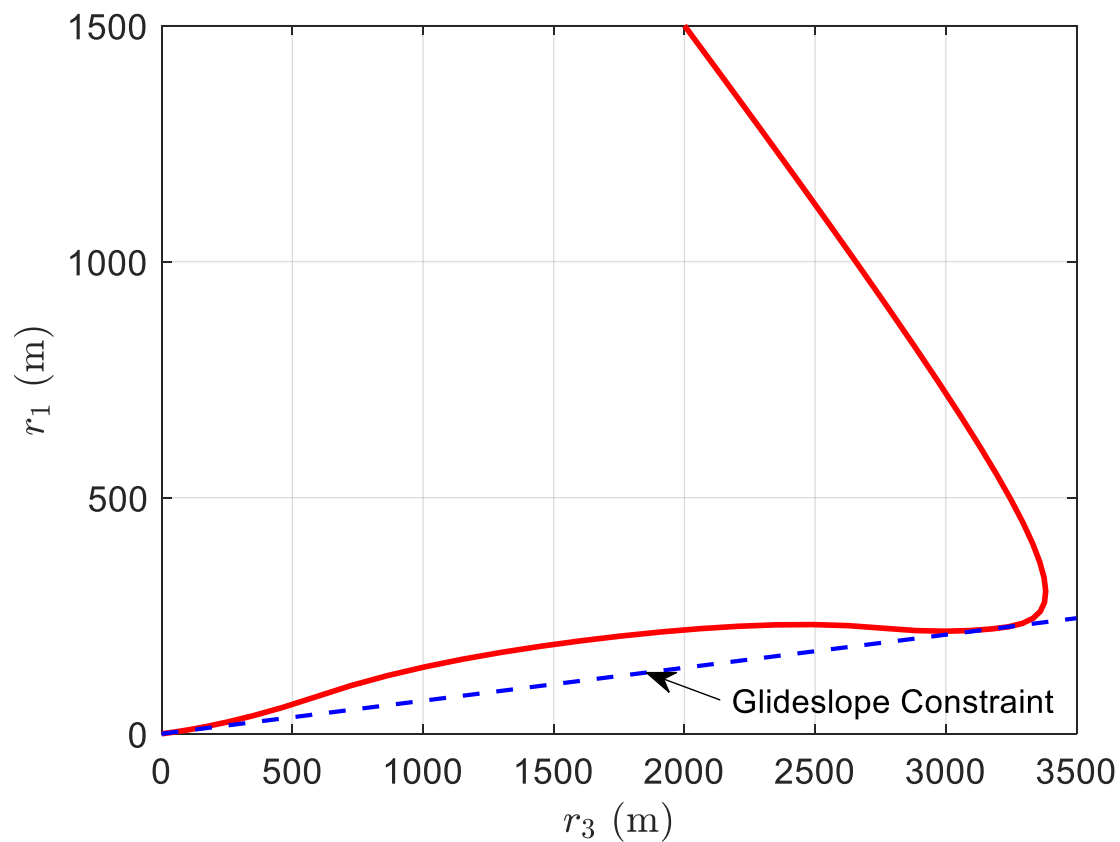
$$\|T^*\| = \Gamma^*$$

始终满足

4. 数值结果



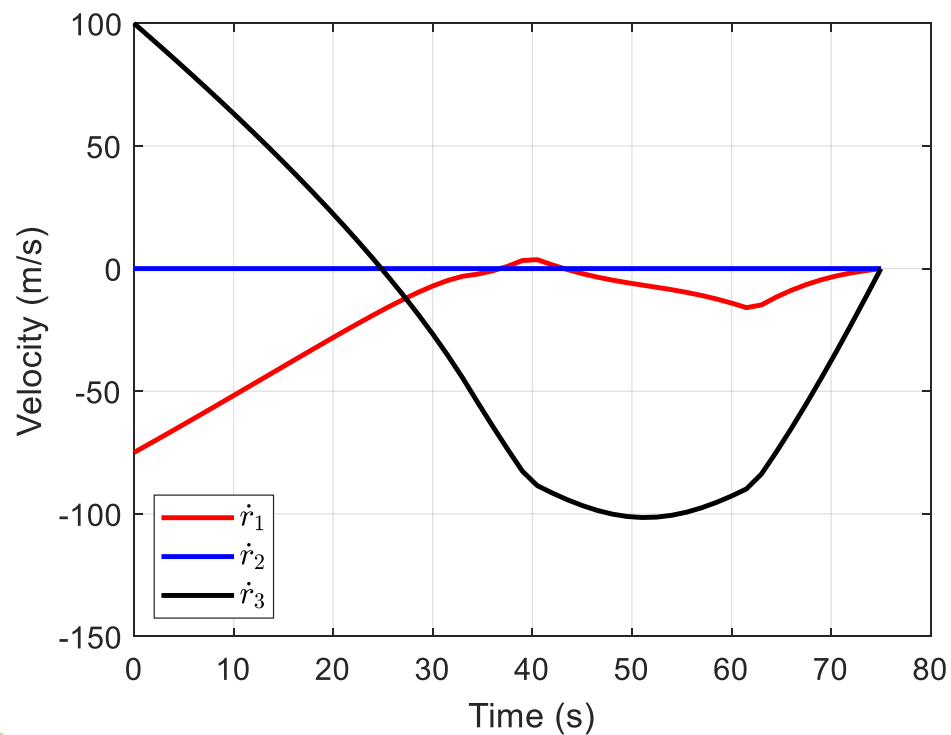
飞行轨迹



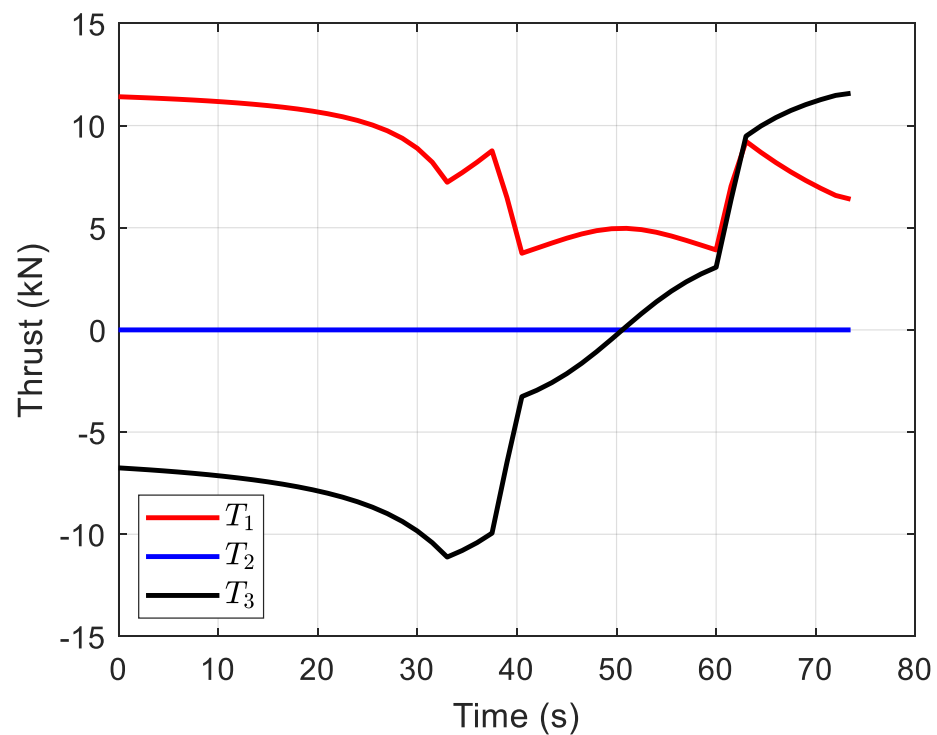
4. 数值结果



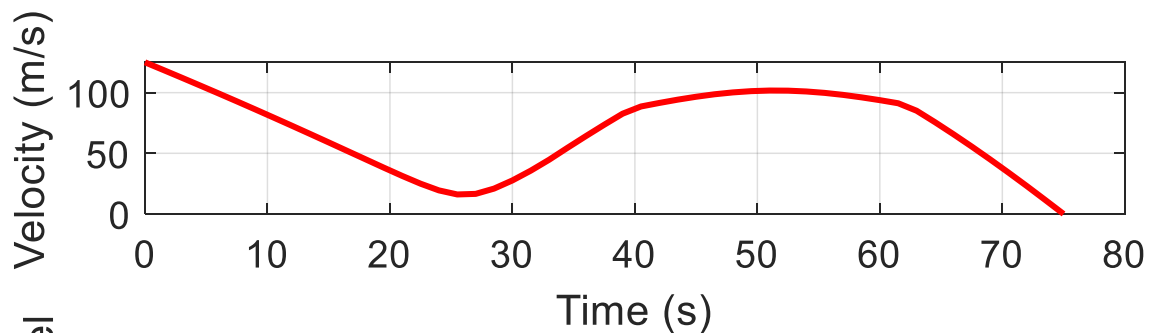
速度



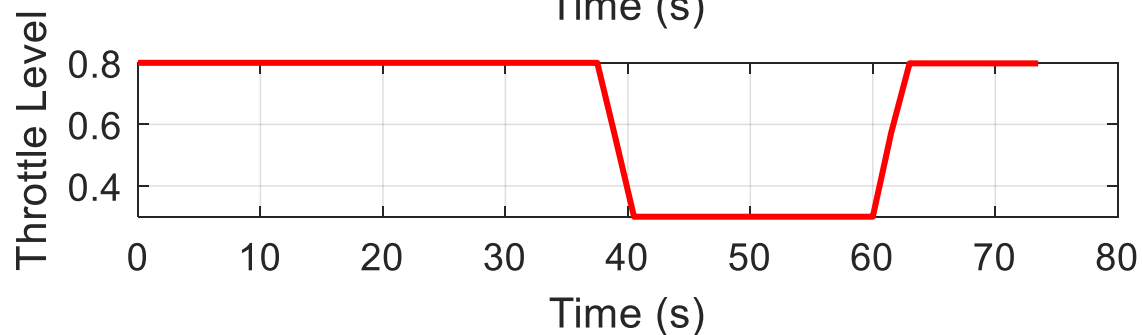
推力



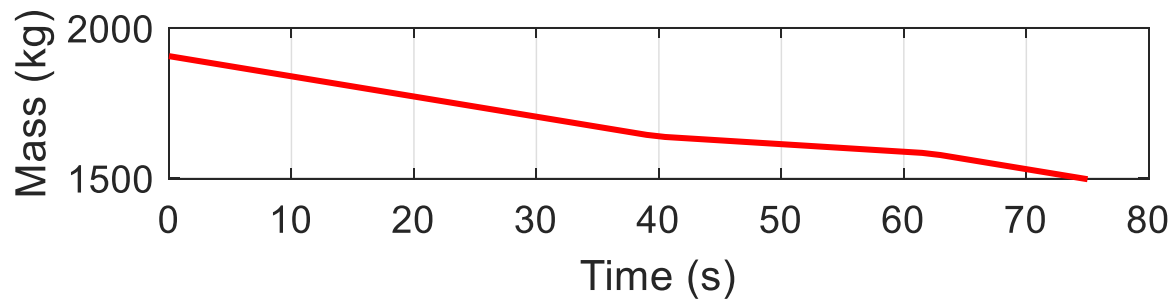
4. 数值结果



速度大小



比推力



质量